

I-169 折板構造解析による連続箱桁の曲げねじりについて

空蘭工業大学 正員 尾崎 誠

1. はじめに： ここに用いた折板理論は、折板要素の面内応力を二次元応力として取扱い、板の曲げは断面方向のみを考慮したもので、すでに発表された弾性理論によるものであるが^{1), 2), 3)}その後、連続桁に応用した結果について報告する。

2. 計算の概要： 図-1. に示すような断面形の桁を考える時 x, y, z 方向の三変位を u, v, w とし、節点では添字 r をつけて表わす。このような構造を構成している各折板要素に対し、さきに誘導した変位せん断公式¹⁾を適用する。例えば、折板要素 rr' について示すと次のように表わされる。(図-2. 参照)

$$\begin{pmatrix} \bar{T}_{rr'} \\ \bar{T}_{rn} \\ S_{rr'} \\ S_{rn} \end{pmatrix} = \begin{pmatrix} C_{11} & C_{12} \\ C_{12} & C_{22} \end{pmatrix} \cdot \begin{pmatrix} \dot{u}_r \\ \dot{u}_{r'} \\ -w_r \\ w_{r'} \end{pmatrix}$$

ただし、
 $C_{11} = \frac{Nr}{\delta} \begin{bmatrix} 2 & 1 \\ 1 & 2 \end{bmatrix} + \frac{Gt_r}{hD^2} \begin{bmatrix} -1 & 1 \\ 1 & -1 \end{bmatrix}$
 $C_{12} = \frac{\nu Nr}{2h} \begin{bmatrix} 1 & 1 \\ 1 & 1 \end{bmatrix} + \frac{Gt_r}{2} \begin{bmatrix} -1 & 1 \\ 1 & -1 \end{bmatrix}$
 $C_{22} = \frac{Nr}{h^2} \begin{bmatrix} 1 & 1 \\ 1 & 1 \end{bmatrix} + \frac{Gt_r D^2}{4} \begin{bmatrix} -1 & 1 \\ 1 & -1 \end{bmatrix}$

式中 $N_r = \frac{Eh t_r}{1-\nu^2}$, $G = \frac{E}{2(1+\nu)}$, $\dot{u} = \frac{du}{dx}$, $\bar{T} = \int T dx$, $D^2 = \frac{d^2}{dx^2}$ --- (1)

一方、棱線における断面方向の変形曲げモーメントを M 、これによるせん断力を X とすれば、図-2 に示すように棱線回転角を φ として次のように書ける。今あく開断面への適用も考慮し、サンプナンのねじり剛性 GJ を導入した。

$$\begin{pmatrix} -X_{rr'} \\ -X_{rr} \\ M_{rr'} \\ M_{rr} \end{pmatrix} = \begin{pmatrix} C'_1 & C'_2 \\ C'_{12} & C'_{22} \end{pmatrix} \cdot \begin{pmatrix} -v_r \\ v_{r'} \\ \varphi_r \\ \varphi_{r'} \end{pmatrix}$$

ただし、
 $C'_1 = \left(\frac{12K_r}{h^2} - \frac{6J_r D^2}{h^2} \right) \begin{bmatrix} 1 & 1 \\ 1 & 1 \end{bmatrix}$
 $C'_2 = \frac{6K_r}{h} \begin{bmatrix} 1 & 1 \\ 1 & 1 \end{bmatrix}$
 $C'_{22} = 2K_r \begin{bmatrix} 2 & 1 \\ 1 & 2 \end{bmatrix}$
 $K_r = \frac{E t_r^3}{12(1-\nu^2)h}$
 $J_r = \frac{h t_r^3}{3} \left(1 - \frac{192}{\pi^2} \frac{t_r}{h} \sum_{n=1,3,\dots}^{\infty} \frac{1}{n^2} \tan \frac{n\pi h}{2t_r} \right)$ --- (2)

力のつりあいは、図-3. のように棱線 r において次のように書ける。この際、棱線位置に鉄筋等の換算面積 s_r を配置できるよう考慮した。

$$\begin{aligned} \bar{T}_{rr-1} - \bar{T}_{rr+1} + \bar{T}_{rn} + E s_r \dot{u}_r &= 0 \\ S_{rr-1} - S_{rr+1} + X_{rr} &= Q_r \\ X_{rr-1} - X_{rr+1} - S_{rr} &= P_r \\ M_{rr-1} + M_{rr+1} + M_{rr} &= m_r \end{aligned} \quad \left. \right\} \quad \cdots (3)$$

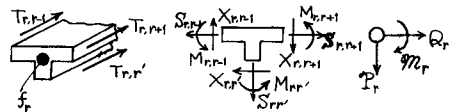


図-3. 棱線における力のつりあい。

以上の結果として次式をうる。 $[A]\{u\} = \{L\}$ --- (4)

連続桁の場合も支間上の静定基本系に対しては、 $u = \sum_{m=1}^{\infty} U_m \sin \frac{m\pi x}{L}$ で表わされるので、スペン上の位置 x における変位 $\{u\}$ は、支承位置 C_p における支承上の節点力 $\{R_i\}$, $i=1, 2, \dots, n$ とすれば次式で表わされる。

$$\{u\} = \{u_n\} + \sum_{j=1}^n \{u_{Rj}\} \quad \text{式中: } \{u_{Rj}\} = \sum_{m=1}^{\infty} [A]^{-1} \{R_{jm}\} \sin \frac{m\pi x}{L} \quad j \geq L. \quad \{R_{jm}\} = \frac{2}{L} \{R_j\} \sin \frac{m\pi C_p}{L}$$

$$- \cdots (5) \quad \{u_n\} = \sum_{m=1}^{\infty} [A]^{-1} \{L_m\} \sin \frac{m\pi x}{L} \quad \text{集中: } \{L_m\} = \frac{2}{L} \{L\} \sin \frac{m\pi x}{L}$$

$$- \cdots (5) \quad \{L_m\} = \frac{4}{m\pi} \{L\}$$

未知量 $\{R_j\}$ は、 C_p 点における条件 $\{u\} = \{\delta\}$ から求まるが、計算例として、三径間連続桁で支承上の断面内で剛に拘束されてい3要素端の変位を $\delta = 0$ と仮定すれば次のように計算できる。たゞし、 $\{u_{Rj}^c\}$ 等は拘束条件を有する節点に単位力 $R_j = 1$ を与えた場合の変位である。

$$\left\{ \begin{array}{l} R_1 \\ R_2 \end{array} \right\} = - [B]^{-1} \left\{ \begin{array}{l} u_{R_1}^{c_1} \\ u_{R_2}^{c_2} \end{array} \right\} \quad \text{且} \quad \left\{ \begin{array}{l} u_{R_1}^{c_1} \\ u_{R_2}^{c_2} \end{array} \right\} = \sum_{m=1}^{\infty} [A]^{-1} \{L_m\} \sin \frac{m\pi C_1}{L} \\ \quad \quad \quad \left[B \right] = \left[\begin{array}{ll} \{u_{R_1}^{c_1}\} & \{u_{R_2}^{c_1}\} \\ \{u_{R_1}^{c_2}\} & \{u_{R_2}^{c_2}\} \end{array} \right] \quad \dots (6)$$

3. 数値計算例： 図-4, 5, 6 に計算

結果の一例を示しが、これから支承上隔壁の有無による相異を各種断面について見ることができる。ただし、これらは結果は45項までの級数計算の値であって、支承上に隔壁が無い場合にはこうした大きな値へと収斂するので、支承上に隔壁がない場合には支承工の曲げねじり応力は約3倍になることである。なお、図-5でみたごとく、集中偶力を受けた場合、支承上の曲げねじり応力の大きさは問題にならないが影響線の結果から、支承上に生ずる最大曲げねじり応力は支間中央に生ずる最大値の20~30%となりに大きくあり、支承上の隔壁の有無による効果は約2倍である。また、断面変形の曲げモーメントにおけるも、図-6のようだ、隔壁がない場合には支間中央の値を上回る大きいの曲げモーメントが支承上に生じるこかみがる。

4. 単一箱桁の曲げねじり（連続桁）

上述の計算は大型計算機によりねばならない等の制約を受けるので、連続単一箱桁に対し、解析的な計算をおこない、節点における曲げねじり応力、断面変形曲げモーメント、せん断流の計算式を次のようにして求めた。
2) 参照

両端単純支持箱桁に対し、3つ支向内に隔壁
 の変形抵抗力 Q_i と支承反力 R_j , ($i, j = 1, 2, \dots$) をとり、この Q_i, R_j を隔壁位置 i で $\Delta\psi = Q_i/G_i t_i$
 支承位置より変位 $w = 0$ すなわち $\psi + \frac{\Delta\psi}{2} = 0$ なる条件から次式を求めめる。 たゞし、 ψ は箱断面の回転角、 $\Delta\psi$ は箱断面形の変形度である。 $(\psi + \frac{\Delta\psi}{2}$ はフランジ部材回転角)。

$$\left[\begin{array}{c|c} \Delta\psi^{Q_i} + \frac{1}{G_i T_i} & \Delta\psi^{R_i} \\ \psi + \frac{\Delta\psi}{Z} & \psi + \frac{\Delta\psi}{Z} \end{array} \right] \begin{Bmatrix} Q_i \\ R_f \end{Bmatrix} = \begin{Bmatrix} \Delta\psi^P \\ \psi + \frac{\Delta\psi}{Z}^P \end{Bmatrix} \quad \dots \quad (7)$$

$$\text{式中, } \Delta\psi_{R_i} = \frac{K \bar{\omega}_i}{G \sqrt{nH}} \left\{ \frac{\sqrt{nH} + L}{2\alpha} \Phi(\xi_i; \xi) - \frac{\sqrt{nH} - L}{2\beta} \Psi(\xi_i; \xi) \right\}$$

$$\Delta\psi^{R_j} = \frac{\tilde{R_j}}{Gbht\sqrt{NH}} \left\{ \frac{\sqrt{NH} + J}{2\alpha} \Xi(f_j, s) - \frac{N\sqrt{H} - J}{2\beta} \Xi(s_j, f) \right\}$$

$$\psi + \frac{4\phi}{Z} = - \frac{\tilde{\Phi}_i}{G B t \sqrt{N H}} \left\{ \frac{\sqrt{N H} + J}{2\alpha} \tilde{\Phi}(\tilde{\rho}_i, \tilde{\rho}) - \frac{\sqrt{N H} - J}{2\beta} \tilde{\Phi}(\tilde{\rho}_i, \tilde{\rho}) \right\}$$

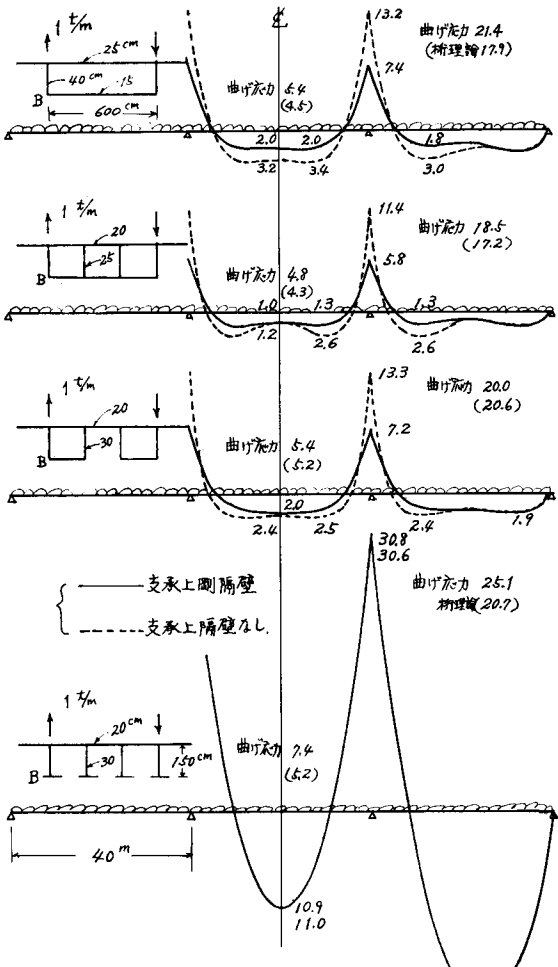


図-4. 三径間連続桁の曲げねじり応力: σ_B (%)
(満載等分布荷重が作用した場合) (B表)

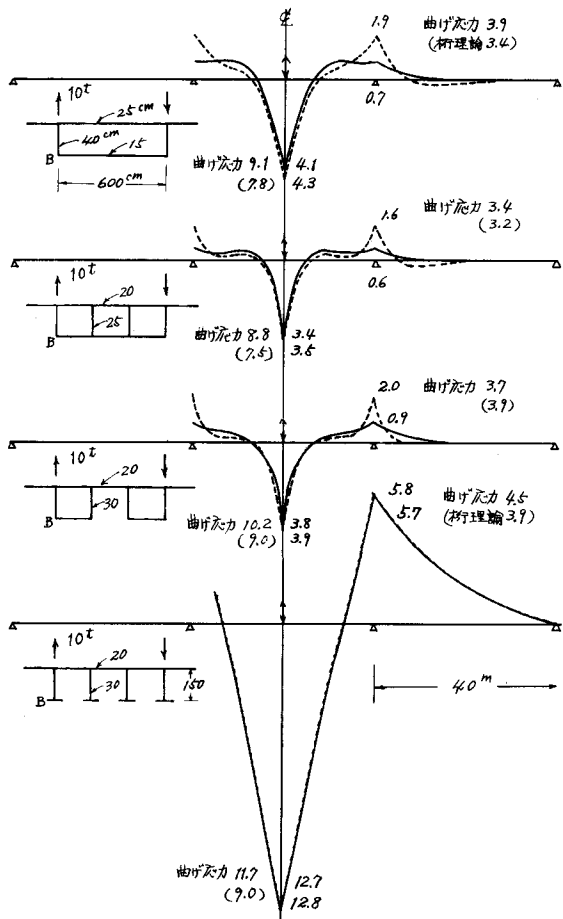


図-5. 三径間連続桁の曲げわじり応力： σ_B (M/m^2)
(支間中央に集中偶力が作用した場合)(B実)

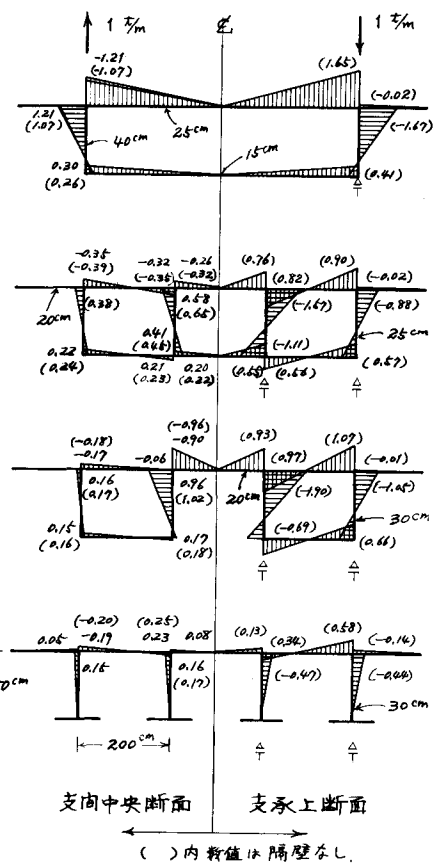


図-6. 三径間連続桁(3@40m)の変形曲げモーメント
(横載等分布偶力作用時) : M ($t \cdot m/m$)

$$\psi + \frac{\Delta\psi}{2} R_i = \frac{F'_i \tilde{R}_i}{8GK\sqrt{mH}} \left\{ \frac{\sqrt{mH} + H'}{2\alpha} \Psi(f_{ij}, f_j) - \frac{\sqrt{mH} - H'}{2\beta} \Psi'(f_{ij}, f_j) \right\} + \frac{KR_i}{2GR} (1-f_j) f_j' \quad \dots \dots \quad (8)$$

$f_2 \leq 1$, $f_j = \frac{x}{l}$, $f_{ij} = \frac{x_i}{l}$, $f_j' = \frac{x_j}{l}$ で, \tilde{R}_i , \tilde{R}_j はそれぞれ $R_i = 1$, $R_j = 1$ とした単位力を表す。

また、(7)式中の荷重項は、集中偶力 P および等分布偶力 $p \cdot b$ に対して次のような値となる。

$$\Delta\psi P = \frac{P}{GKb\sqrt{mH}} \left\{ \frac{\sqrt{mH} + J}{2\alpha} \Psi(f_{ij}, f_j) - \frac{\sqrt{mH} - J}{2\beta} \Psi'(f_{ij}, f_j) \right\}$$

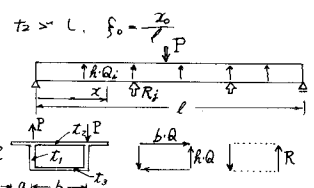
$$\psi + \frac{\Delta\psi}{2} P = \frac{F'_i P}{8GK\sqrt{mH}} \left\{ \frac{\sqrt{mH} + H'}{2\alpha} \Psi(f_{ij}, f_j) - \frac{\sqrt{mH} - H'}{2\beta} \Psi'(f_{ij}, f_j) \right\} + \frac{KP}{2GR} f_j (l-x_j)$$

$$\Delta\psi p = \frac{2p}{GKbH} \left\{ \frac{1}{2\alpha\beta} (1 - \frac{KJ}{H}) \Psi(f_j) + \frac{J}{mH} (1 - \Psi(f_j)) \right\}$$

$$\psi + \frac{\Delta\psi}{2} p = -\frac{F'_i p}{4GR} \left\{ \frac{1}{2\alpha\beta} (1 - \frac{KH'}{H}) \Psi'(f_j) + \frac{H'}{mH} (1 - \Psi(f_j)) \right\} + \frac{KP}{2GR} \frac{(l-x_j)x_j}{2} \quad \dots \dots \quad (9)$$

なお、式中の $\Psi(f_{ij}, f_j)$, $\Psi'(f_{ij}, f_j)$ の値については、紙面の都合で省略する。(文献2)参照。

ただし、等分布荷重に関する $\Psi'(f_j)$, $\Psi(f_j)$ は、次頁に示す $\Psi(f)$, $\Psi'(f)$ における $f = f_{ij}$, $f = f_j$ における f_j である。



したがって、いま支承上の曲げねじり応力は、支承上の曲げねじり応力、变形曲げモーメント、せん断流に対しても、それで次のようになります。

$$\begin{aligned} \sigma_A^{Q_i} &= -\frac{12Q_i}{\omega}\left\{\frac{1}{2\alpha}\Psi(f_i, f) - \frac{1}{2\beta}\Psi(f_i, f)\right\} \\ M_A^{Q_i} &= -\frac{2(1+\nu)}{\sqrt{nH}}\left\{\frac{\sqrt{nH}+L}{2\alpha}\Phi(f_i, f) - \frac{\sqrt{nH}-L}{2\beta}\Phi(f_i, f)\right\} \\ T_{AB}^{Q_i} &= -\frac{2\pi b R_i}{\omega}\left\{C(f_i, f) - \frac{nK}{2\alpha\beta}S(f_i, f)\right\} + Q_i(1-f_i) \\ &- nKQ_i\left\{\frac{1}{2\alpha\beta}(1-\frac{KL}{H})S(f_i, f) - \frac{L}{nH}(C(f_i, f) - 2(1-f_i))\right\} \\ \sigma_A^{R_i} &= -\frac{6R_i}{wK\sqrt{nH}}\left\{\frac{\sqrt{nH}+nH}{2\alpha}\Phi(f_i, f) - \frac{\sqrt{nH}-nH}{2\beta}\Phi(f_i, f)\right\} \\ M_A^{R_i} &= -\frac{2(1+\nu)}{bR_i\sqrt{nH}}\left\{\frac{\sqrt{nH}+J}{2\alpha}\Psi(f_i, f) - \frac{\sqrt{nH}-J}{2\beta}\Psi(f_i, f)\right\} \\ T_{AB}^{R_i} &= -\frac{bR_i}{wK}\left\{C(f_i, f) + \frac{n(K-J)}{2\alpha\beta}S(f_i, f)\right\} \\ &- \frac{nR_i}{bR_i}\left\{\frac{1}{2\alpha\beta}(1-\frac{KJ}{H})S(f_i, f) - \frac{J}{nH}(C(f_i, f) - 2(1-f_i))\right\} \\ &\cdots \cdots (D) \end{aligned}$$

この結果次のようになります。

$$\begin{aligned} \sigma_A &= \sigma_A^P + \sum_i \sigma_A^{Q_i} + \sum_j \sigma_A^{R_i}, \quad \sigma_B = -\gamma \sigma_B \\ M_A &= M_A^P + \sum_i M_A^{Q_i} + \sum_j M_A^{R_i}, \quad M_B = \frac{K_B}{F_A} M_A \\ T_{AB} &= T_{AB}^P + \sum_i T_{AB}^{Q_i} + \sum_j T_{AB}^{R_i}, \quad \gamma = \frac{3ht_1+bt_2+6f}{3bt_1+bt_2} \\ T_{AB} &= T_{AB}^P + \sum_i T_{AB}^{Q_i} + \sum_j T_{AB}^{R_i}, \quad \cdots \cdots (11) \end{aligned}$$

集中荷重に対する σ_A^P , M_A^P , T_{AB}^P は文献(2)の通りであります。等分布荷重に対する次のようになります。

$$\begin{aligned} \sigma_A^P &= \frac{12P}{wK}\left\{\frac{1}{2\alpha\beta}(1-\frac{KJH}{H})\Psi(f) + \frac{H}{H}(1-\Psi(f))\right\} \\ M_A^P &= K_B \frac{4(1+\nu)f}{bR_i}\left\{\frac{1}{2\alpha\beta}(1-\frac{KJ}{H})\Psi(f) + \frac{J}{nH}(1-\Psi(f))\right\} \\ T_{AB}^P &= \frac{2bt_1P}{wK} \left\{ \frac{1}{H} \left(\frac{\sqrt{nH}+J}{2\alpha} \right) S(f) + \frac{1}{2\beta} \left(\frac{\sqrt{nH}-J}{H} - 1 \right) C(f) \right\} \\ &+ \frac{2P}{bR_i H} \left\{ \frac{\sqrt{nH}+J}{2\alpha} S(f) + \frac{\sqrt{nH}-J}{2\beta} C(f) + J \left(\frac{f}{2} - x \right) \right\} \\ &\cdots \cdots (2) \end{aligned}$$

式中、
 $\Psi(f) = \frac{\sinh \alpha \pi (1-f) \sin \beta \pi f + \sinh \beta \pi f \sin \alpha \pi (1-f)}{\cosh \alpha \pi + \cos \beta \pi}$
 $\Psi'(f) = \frac{\cosh \alpha \pi (1-f) \cos \beta \pi f + \cosh \beta \pi f \cos \alpha \pi (1-f)}{\cosh \alpha \pi + \cos \beta \pi}$
 $S(f) = \frac{\sinh \alpha \pi (1-f) \cos \alpha \pi f - \sinh \beta \pi f \cos \beta \pi (1-f)}{\cosh \alpha \pi + \cos \beta \pi}$
 $C(f) = \frac{\cosh \alpha \pi (1-f) \sin \beta \pi f - \cosh \beta \pi f \sin \alpha \pi (1-f)}{\cosh \alpha \pi + \cos \beta \pi} \quad \cdots \cdots (3)$

本研究の実施に当たり、能町純雄教授には終始ご指導をいたしました。本稿の作成の際には、西田久技官の協力を得ました。ここに記して深く感謝の意を表します。

- 1) 能町純雄、尾崎謙、杉野博：断面変形を考慮した二室箱桁の応力解析について、土木学会北海道支部論文集24号、昭42.
- 2) 尾崎謙：折板構造解析による単一箱桁の曲げねじりについて、土木学会論文報告集129号、昭44.7.
- 3) 尾崎謙：折板構造解析によるコンクリート橋脚の応力について、土木学会北海道支部研究会論文集27号、昭45

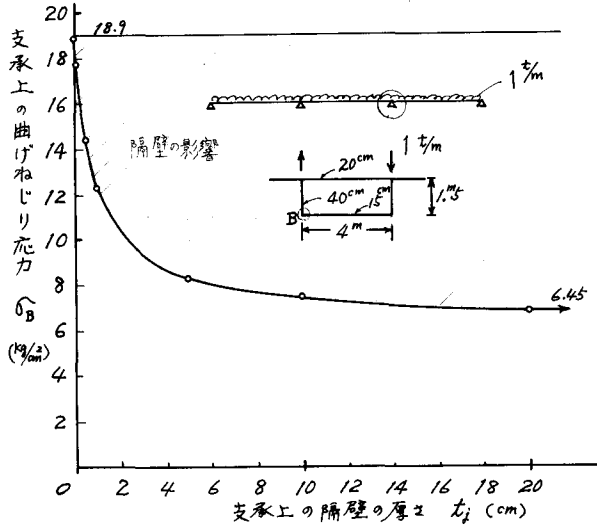


図-7. 曲げねじり応力によばず支承上隔壁の影響

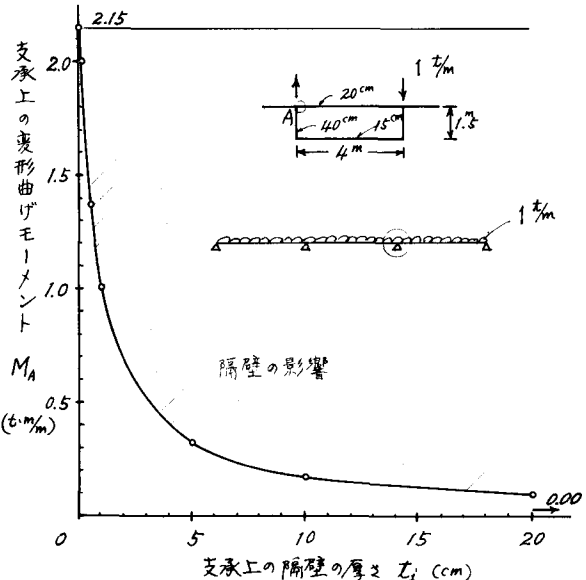


図-8. 変形曲げモーメントによばず支承上隔壁の影響

計算結果の一例を図-7, 図-8 に示す。これによれば、支承上隔壁の厚さは数cmでよいことがわかる。